



LEDEN 2024
STAVEBNĚ-FYZIKÁLNÍ PARAMETRY

Isokorb[®] XT pro železobetonové konstrukce



Nosné tepelně izolující prvky k efektivní redukci tepelných mostů u předsazených stavebních konstrukcí, jako jsou balkóny, pavlače a atiky.

Ochrana proti kročejovému zvuku

Charakteristické hodnoty kročejového zvuku (nová zkušební metoda dle EAD)

Nová standardizovaná zkušební metoda dle EAD 01 (adopted)

Přestože dle stavebních a soukromoprávních předpisů existují požadavky na kročejovou neprůzvučnost balkónů a pavlačí, nebyla dosud k dispozici žádná konkrétní zkušební norma, která by pomocí vhodného zkušebního a měřicího zařízení stanovila zvukově izolační účinky termicky přerušujících prvků k napojení balkónů.

Od začátku roku 2022 je v revidované verzi 050001-01-0301 (adopted) Evropského dokumentu pro posuzování (EAD) prvků k napojení balkónů poprvé uveden detailní popis standardní zkušební metody pro měření charakteristických hodnot kročejového zvuku u prvků k napojení balkónů. Tato nová zkušební metoda EAD umožňuje poprvé spolehlivě srovnat charakteristické hodnoty kročejového zvuku u produktů různých typů a výrobců. Tyto charakteristické hodnoty slouží zároveň jako zaručené vstupní parametry pro početní odhad ochrany proti kročejovému zvuku u balkónů a pavlačí ve fázi projektové přípravy.

Výrazné zlepšení nové zkušební metody dle EAD 01 (adopted) oproti předchozí verzi EAD

- Uspokojivá specifikace zkušebního a měřicího zařízení z hlediska stavební akustiky a dalšího početního zpracování naměřených hodnot
- „Tuhé“ referenční měření na stejném zkušebním vzorku (a nikoli na přídatné tuhé zkušební konstrukci jako dříve)
- **Nová charakteristická hodnota kročejového zvuku** pro prvky k napojení balkónů: **vážené snížení hladiny kročejového zvuku ΔL_w** (místo doposud používaného váženého rozdílu hladiny kročejového zvuku $\Delta L_{n,w}$)
- Použití **metody referenčního stropu dle EN ISO 717-2** pro stanovení váženého snížení hladiny kročejového zvuku ΔL_w (dosud se u váženého rozdílu hladiny kročejového zvuku $\Delta L_{n,w}$ uvažoval pouze rozdíl jednočíselných veličin $L_{n0,w}$ a $L_{n,w}$ bez použití metody referenčního stropu)
- Vážené snížení hladiny kročejového zvuku ΔL_w prvku k napojení balkónů lze použít (analogicky k váženému snížení hladiny kročejového zvuku u podlahy na stropní konstrukci) jako **vstupní hodnotu pro početní odhad dle DIN 4109-2 a EN ISO 12354-2**.

Možnost srovnání charakteristických hodnot kročejového zvuku, akustická rovnocennost

Díky detailně popsané zkušební metodě dle nového dokumentu EAD 01 (adopted) lze poprvé spolehlivě porovnat charakteristické hodnoty kročejového zvuku různých prvků k napojení balkónů, a to i od různých výrobců – za předpokladu, že byly tyto charakteristické hodnoty stanoveny v souladu s dokumentem EAD 01 (adopted). Pouze charakteristické hodnoty kročejového zvuku dle EAD 01 (adopted) umožňují totiž získat zaručené informace o rovnocennosti různých prvků k napojení balkónů z hlediska kročejové neprůzvučnosti.

Charakteristické hodnoty kročejového zvuku při tvorbě nabídek

Aby bylo zajištěno použití prvků k napojení balkónů s charakteristickými hodnotami kročejového zvuku dle nového dokumentu EAD 01 (adopted), je třeba v nabídce jasně uvést, že hodnoty v nabídce musí odpovídat nové metodě dle EAD 01 (adopted), např. užitím následujícího textového modulu:

- „Vážené snížení hladiny kročejového zvuku ΔL_w dle EAD 050001-01-0301 (adopted): ... dB“

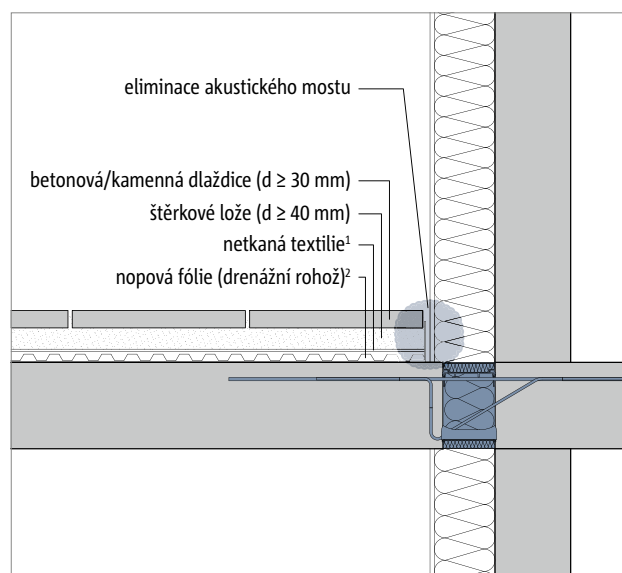
Charakteristické hodnoty kročejového zvuku u kombinace prvků Schöck Isokorb® s podlahou

Přídavná podlaha snižující hladinu kročejového zvuku

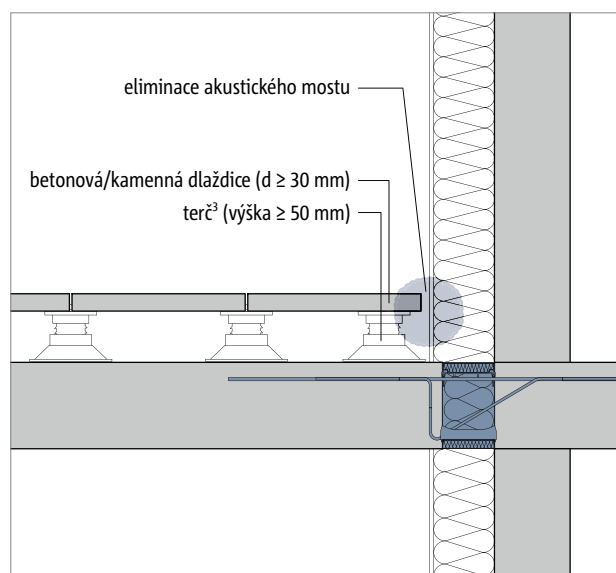
Pokud je ke splnění požadavku na snížení hladiny kročejového zvuku nutná přídavná podlahová krytina na balkóně, lodžii nebo pavlači, lze k hodnotám snížení kročejového zvuku prvku Schöck Isokorb® $\Delta L_{\text{Isokorb}}$ frekvenčně přičíst hodnoty podlahové krytiny $\Delta L_{\text{podlaha}}$. Jednočíselná hodnota váženého snížení kročejového zvuku $\Delta L_{w,\text{celk}}$ celého systému „Schöck Isokorb® + podlaha“ vyplývá z těchto sečtených hodnot snížení hladiny kročejového zvuku $\Delta L_{\text{celk}} = \Delta L_{\text{podlaha}} + \Delta L_{\text{Isokorb}}$ použitím metody referenčního stropu dle EN ISO 717-2.

Balkónové podlahy měřené ve zkušebním zařízení pro podlahy na stropní konstrukci dle EN ISO 10140-1

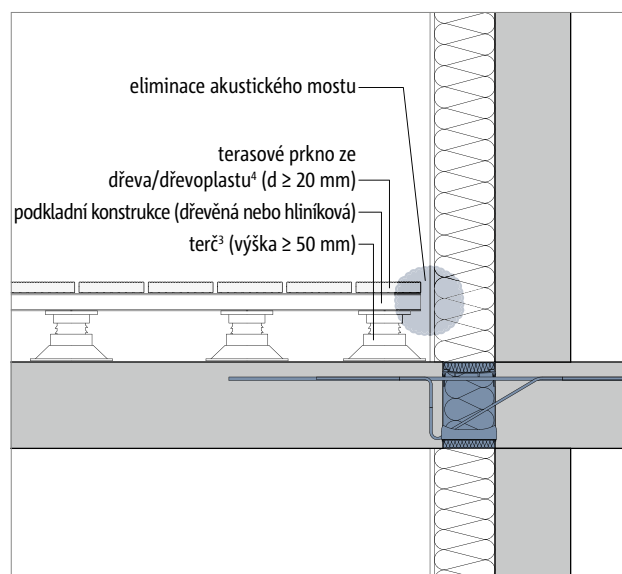
Pro běžné balkónové podlahy (viz následující obrázky) bylo změřeno snížení hladiny kročejového zvuku $\Delta L_{\text{podlaha}}$ na zkušebním zařízení pro podlahy na stropní konstrukci dle EN ISO 10140-1:2016 („Akustika – Laboratorní měření zvukové izolace stavebních konstrukcí – Část 1: Aplikační pravidla pro určité výrobky“). Takto zjištěné hodnoty (závislé na frekvenci) snížení hladiny kročejového zvuku $\Delta L_{\text{podlaha}}$ byly frekvenčně sečteny s příslušnými hodnotami snížení hladiny kročejového zvuku $\Delta L_{\text{Isokorb}}$ podle výše popsané metody, a poté bylo stanoveno vážené snížení hladiny kročejového zvuku $\Delta L_{w,\text{celk}}$ celého systému Schöck Isokorb® + podlaha.



Obr. 1: Balkónová podlaha s betonovými/kamennými dlaždicemi, štěrkovým ložem, netkanou textilií a nopovou fólií (drenážní rohož)



Obr. 2: Balkónová podlaha s betonovými/kamennými dlaždicemi a terčí



Obr. 3: Balkónová podlaha s terasovými prkny ze dřeva/dřevoplastu, podkladní konstrukce (dřevěná nebo hliníková) a terče

i Informace

- 1) je nutností (štěrk se nesmí dostat do nopů)
- 2) z polyetylenového plastu (výška nopů ≥ 8 mm)
- 3) standardní terče z plastu (bez přídavné pružné vrstvy)
- 4) plně nebo dutinové

Schöck Isokorb® XT typ KL

XT typ KL 6.2	M1-V1	M1-V2	M2-V1	M2-V2	M3-V1	M3-V2	M3-VV1	M4-V1	M4-V2	M4-V3	M4-VV1	
H [mm]	skladba	ΔL_w [dB]										
160–170	žádná	14,5	15,6	14,4	15,1	13,9	13,9	12,0	12,7	13,0	13,0	12,0
	A	21,0	22,8	20,6	21,1	20,0	22,4	20,2	19,9	22,1	22,1	23,9
	B	20,5	23,0	20,1	21,3	19,5	22,6	20,4	19,1	22,4	22,4	23,6
	C	17,7	20,1	17,3	19,3	16,8	19,7	17,6	16,4	19,3	19,3	21,0
180–190	žádná	15,5	16,6	15,4	16,1	14,9	14,9	13,0	13,7	14,0	14,0	13,0
	A	22,0	23,8	21,6	22,1	21,0	23,4	21,2	20,9	23,1	23,1	24,9
	B	21,5	24,0	21,1	22,3	20,5	23,6	21,4	20,1	23,4	23,4	24,6
	C	18,7	21,1	18,3	20,3	17,8	20,7	18,6	17,4	20,3	20,3	22,0
200–210	žádná	15,5	16,0	15,4	16,0	14,9	14,9	13,0	13,7	14,0	14,0	13,0
	A	22,0	23,2	21,6	22,0	21,0	23,4	21,2	20,9	23,1	23,1	24,9
	B	21,5	23,4	21,1	22,2	20,5	23,6	21,4	20,1	23,4	23,4	24,6
	C	18,7	20,5	18,3	20,2	17,8	20,7	18,6	17,4	20,3	20,3	22,0
220–230	žádná	16,5	15,9	16,4	15,2	15,9	14,5	13,0	14,7	13,9	14,0	13,0
	A	23,0	22,3	22,6	21,6	22,0	21,3	21,2	21,9	21,2	21,3	24,9
	B	22,5	22,5	22,1	21,8	21,5	21,5	21,4	21,1	21,4	21,5	24,6
	C	19,7	20,5	19,3	19,8	18,8	19,5	18,6	18,4	19,4	19,5	22,0
240–250	žádná	16,5	18,0	16,5	17,0	16,4	16,0	13,5	15,2	15,0	14,5	13,5
	A	23,0	24,4	22,7	23,4	22,5	22,8	21,7	22,4	22,3	21,8	25,4
	B	22,5	24,6	22,2	23,6	22,0	23,0	21,9	21,6	22,5	22,0	25,1
	C	19,7	22,6	19,4	21,6	19,3	21,0	19,1	18,9	20,5	20,0	22,5

- ΔL_w vážené snížení hladiny kročejového zvuku dle zkušební metody v novém dokumentu EAD 01 (adopted)
- Podlahová skladba A: betonové/kamenné dlaždice, štěrkové lože, netkaná textilie a nopová fólie (drenážní rohož)
Podlahová skladba B: betonové/kamenné dlaždice a terče
Podlahová skladba C: terasová prkna ze dřeva/dřevoplastu, podkladní konstrukce (dřevěná nebo hliníková) a terče

I Barevně vyznačené hodnoty

Tyto hodnoty byly naměřeny metodou dle EAD 01 (adopted version). Všechny ostatní hodnoty byly vypočteny Metodou konečných prvků 3D na virtuálním zkušebním vzorku, kterou vyvinula vysoká technická škola HFT Stuttgart v souladu se zkušební metodou dle EAD 01 (adopted version).

Schöck Isokorb® XT typ KL

XT typ KL 6.2		M5-V1	M5-V2	M5-V3	M5-VV1	M6-V1	M6-V2	M6-V3	M6-VV1	M7-V1	M7-V2	M7-VV1
H [mm]	skladba	ΔL_w [dB]										
160–170	žádná	12,4	12,0	12,0	11,0	11,9	11,0	11,0	10,0	10,2	10,1	9,0
	A	19,9	21,8	21,8	23,4	19,5	21,5	21,5	23,0	18,4	21,3	23,4
	B	19,1	22,0	22,0	22,9	18,9	21,7	21,7	22,3	18,1	21,5	22,5
	C	16,3	18,8	18,8	20,3	16,1	18,5	18,5	19,6	15,4	18,2	20,3
180–190	žádná	13,4	13,0	13,0	12,0	12,9	12,0	12,0	11,0	11,2	11,1	10,0
	A	20,9	22,8	22,8	24,4	20,5	22,5	22,5	24,0	19,4	22,3	24,4
	B	20,1	23,0	23,0	23,9	19,9	22,7	22,7	23,3	19,1	22,5	23,5
	C	17,3	19,8	19,8	21,3	17,1	19,5	19,5	20,6	16,4	19,2	21,3
200–210	žádná	13,4	13,0	13,0	12,0	12,9	12,0	12,0	11,0	11,2	11,1	10,0
	A	20,9	22,8	22,8	24,4	20,5	22,5	22,5	24,0	19,4	22,3	24,4
	B	20,1	23,0	23,0	23,9	19,9	22,7	22,7	23,3	19,1	22,5	23,5
	C	17,3	19,8	19,8	21,3	17,1	19,5	19,5	20,6	16,4	19,2	21,3
220–230	žádná	14,4	13,5	13,0	12,0	13,9	13,0	12,0	11,0	12,2	10,5	9,0
	A	21,9	23,3	22,8	24,4	21,5	23,5	22,5	24,0	20,4	21,7	23,4
	B	21,1	23,5	23,0	23,9	20,9	23,7	22,7	23,3	20,1	21,9	22,5
	C	18,3	20,3	19,8	21,3	18,1	20,5	19,5	20,6	17,4	18,6	20,3
240–250	žádná	14,9	13,5	13,5	12,5	14,4	13,0	12,5	11,5	12,7	12,0	9,5
	A	22,4	23,3	23,3	24,9	22,0	23,5	23,0	24,5	20,9	23,2	23,9
	B	21,6	23,5	23,5	24,4	21,4	23,7	23,2	23,8	20,6	23,4	23,0
	C	18,8	20,3	20,3	21,8	18,6	20,5	20,0	21,1	17,9	20,1	20,8

- ΔL_w vážené snížení hladiny kročejevého zvuku dle zkušební metody v novém dokumentu EAD 01 (adopted)
- Podlahová skladba A: betonové/kamenné dlaždice, štěrkové lože, netkaná textilie a nopová fólie (drenážní rohož)
Podlahová skladba B: betonové/kamenné dlaždice a terče
Podlahová skladba C: terasová prkna ze dřeva/dřevoplastu, podkladní konstrukce (dřevěná nebo hliníková) a terče

I Barevně vyznačené hodnoty

Tyto hodnoty byly naměřeny metodou dle EAD 01 (adopted version). Všechny ostatní hodnoty byly vypočteny Metodou konečných prvků 3D na virtuálním zkušebním vzorku, kterou vyvinula vysoká technická škola HfT Stuttgart v souladu se zkušební metodou dle EAD 01 (adopted version).

Schöck Isokorb® XT typ KL

XT typ KL 6.2	M8-V1	M8-V2	M8-VV1	M9-V1	M9-V2	M10-V1	M10-V2	
H [mm]	skladba	ΔL_w [dB]						
160–170	žádná	9,4	9,0	8,0	8,3	8,0	7,4	6,8
	A	18,7	21,5	22,6	19,0	21,4	17,6	21,1
	B	18,2	21,2	21,8	18,3	20,7	17,5	20,2
	C	15,5	18,7	19,6	16,0	18,6	14,9	18,5
180–190	žádná	10,4	10,0	9,0	9,3	9,0	8,4	7,8
	A	19,7	22,5	23,6	20,0	22,4	18,6	22,1
	B	19,2	22,2	22,8	19,3	21,7	18,5	21,2
	C	16,5	19,7	20,6	17,0	19,6	15,9	19,5
200–210	žádná	10,4	10,0	9,0	9,3	9,0	8,4	7,8
	A	19,7	22,5	23,6	20,0	22,4	18,6	22,1
	B	19,2	22,2	22,8	19,3	21,7	18,5	21,2
	C	16,5	19,7	20,6	17,0	19,6	15,9	19,5
220–230	žádná	11,4	10,0	8,0	10,3	9,0	9,4	8,0
	A	20,7	22,5	22,6	21,0	22,4	19,6	22,3
	B	20,2	22,2	21,8	20,3	21,7	19,5	21,4
	C	17,5	19,7	19,6	18,0	19,6	16,9	19,7
240–250	žádná	11,9	11,0	8,5	10,8	10,0	9,9	9,0
	A	21,2	23,5	23,1	21,5	23,4	20,1	23,3
	B	20,7	23,2	22,3	20,8	22,7	20,0	22,4
	C	18,0	20,7	20,1	18,5	20,6	17,4	20,7

- ΔL_w vážené snížení hladiny kročejového zvuku dle zkušební metody v novém dokumentu EAD 01 (adopted)
- Podlahová skladba A: betonové/kamenné dlaždice, štěrkové lože, netkaná textilie a nopová fólie (drenážní rohož)
Podlahová skladba B: betonové/kamenné dlaždice a terče
Podlahová skladba C: terasová prkna ze dřeva/dřevoplastu, podkladní konstrukce (dřevěná nebo hliníková) a terče

I Barevně vyznačené hodnoty

Tyto hodnoty byly naměřeny metodou dle EAD 01 (adopted version). Všechny ostatní hodnoty byly vypočteny Metodou konečných prvků 3D na virtuálním zkušebním vzorku, kterou vyvinula vysoká technická škola HfT Stuttgart v souladu se zkušební metodou dle EAD 01 (adopted version).

Schöck Isokorb® XT typ KP

XT typ KP 6.1		M11-V1	M11-V2	M11-V3	M12-V1	M12-V2	M12-V3	M13-V1	M13-V2	M13-V3
H [mm]	skladba	ΔL_w [dB]								
180–190	žádná	10,0	10,0	-	9,0	9,0	-	8,0	8,0	-
	A	22,8	22,8	-	21,8	21,8	-	20,8	20,8	-
	B	21,4	21,4	-	20,4	20,4	-	19,4	19,4	-
	C	19,1	19,1	-	18,1	18,1	-	17,1	17,1	-
200–210	žádná	10,0	10,0	8,0	9,0	9,0	7,0	8,0	8,0	6,0
	A	22,8	22,8	20,8	21,8	21,8	19,8	20,8	20,8	18,8
	B	21,4	21,4	19,4	20,4	20,4	18,4	19,4	19,4	17,4
	C	19,1	19,1	17,1	18,1	18,1	16,1	17,1	17,1	15,1
220–230	žádná	11,0	10,0	8,5	10,0	9,0	7,5	9,0	8,0	6,5
	A	23,8	22,8	21,3	22,8	21,8	20,3	21,8	20,8	19,3
	B	22,4	21,4	19,9	21,4	20,4	18,9	20,4	19,4	17,9
	C	20,1	19,1	17,6	19,1	18,1	16,6	18,1	17,1	15,6
240–250	žádná	11,5	11,0	9,0	10,5	10,0	8,0	9,5	9,0	7,0
	A	24,3	23,8	21,8	23,3	22,8	20,8	22,3	21,8	19,8
	B	22,9	22,4	20,4	21,9	21,4	19,4	20,9	20,4	18,4
	C	20,6	20,1	18,1	19,6	19,1	17,1	18,6	18,1	16,1

- ΔL_w vážené snížení hladiny kročejevého zvuku dle zkušební metody v novém dokumentu EAD 01 (adopted)
- Podlahová skladba A: betonové/kamenné dlaždice, šterkové lože, netkaná textilie a nopová fólie (drenážní rohož)
Podlahová skladba B: betonové/kamenné dlaždice a terče
Podlahová skladba C: terasová prkna ze dřeva/dřevoplastu, podkladní konstrukce (dřevěná nebo hliníková) a terče

i Barevně vyznačené hodnoty

Tyto hodnoty byly naměřeny metodou dle EAD 01 (adopted version). Všechny ostatní hodnoty byly vypočteny Metodou konečných prvků 3D na virtuálním zkušebním vzorku, kterou vyvinula vysoká technická škola HfT Stuttgart v souladu se zkušební metodou dle EAD 01 (adopted version).

Schöck Isokorb® XT typ KL-U, KL-O

XT typ KL-U/O 7.2		M1	M2	M3	M4
H [mm]	skladba	ΔL_w [dB]			
160–170	žádná	12,4	10,2	8,3	8,3
	A	19,6	17,8	17,6	18,5
	B	18,8	17,2	17,1	18,4
	C	16,1	14,4	14,4	15,8
180–190	žádná	13,4	11,2	9,3	9,3
	A	20,6	18,8	18,6	19,5
	B	19,8	18,2	18,1	19,4
	C	17,1	15,4	15,4	16,8
200–210	žádná	13,4	11,2	9,3	9,3
	A	20,6	18,8	18,6	19,5
	B	19,8	18,2	18,1	19,4
	C	17,1	15,4	15,4	16,8
220–230	žádná	14,4	12,2	10,3	10,3
	A	21,6	19,8	19,6	20,5
	B	20,8	19,2	19,1	20,4
	C	18,1	16,4	16,4	17,8
240–250	žádná	14,9	12,7	10,8	10,8
	A	22,1	20,3	20,1	21,0
	B	21,3	19,7	19,6	20,9
	C	18,6	16,9	16,9	18,3

- ΔL_w vážené snížení hladiny kročejového zvuku dle zkušební metody v novém dokumentu EAD 01 (adopted)
- Podlahová skladba A: betonové/kamenné dlaždice, štěrkové lože, netkaná textilie a nopová fólie (drenážní rohož)
Podlahová skladba B: betonové/kamenné dlaždice a terče
Podlahová skladba C: terasová prkna ze dřeva/dřevoplastu, podkladní konstrukce (dřevěná nebo hliníková) a terče

I Barevně vyznačené hodnoty

Tyto hodnoty byly naměřeny metodou dle EAD 01 (adopted version). Všechny ostatní hodnoty byly vypočteny Metodou konečných prvků 3D na virtuálním zkušebním vzorku, kterou vyvinula vysoká technická škola HFT Stuttgart v souladu se zkušební metodou dle EAD 01 (adopted version).

Schöck Isokorb® XT typ QL

XT typ QL 6.0		V1	V2	V3	V4	V5	V6	V7	V8	V9	V10	V11
H [mm]	skladba	ΔL_w [dB]										
160–170	žádná	13,0	13,0	12,5	12,0	11,7	-	-	-	-	-	-
	A	22,4	20,6	21,7	22,5	22,8	-	-	-	-	-	-
	B	22,4	20,8	21,5	22,4	22,7	-	-	-	-	-	-
	C	20,5	18,1	18,5	19,4	19,8	-	-	-	-	-	-
180–190	žádná	14,0	14,0	13,5	13,0	12,7	12,5	11,5	11,0	10,0	7,5	-
	A	23,4	21,6	22,7	23,5	23,8	24,4	23,5	23,0	22,1	19,6	-
	B	23,4	21,8	22,5	23,4	23,7	24,2	23,4	23,0	22,1	19,6	-
	C	21,5	19,1	19,5	20,4	20,8	21,3	20,6	20,4	19,5	17,0	-
200–210	žádná	14,0	14,0	13,5	13,0	12,7	12,5	11,5	11,0	10,0	7,5	6,5
	A	23,4	21,6	22,7	23,5	23,8	24,4	23,5	23,0	22,1	19,6	18,6
	B	23,4	21,8	22,5	23,4	23,7	24,2	23,4	23,0	22,1	19,6	18,6
	C	21,5	19,1	19,5	20,4	20,8	21,3	20,6	20,4	19,5	17,0	16,0
220–230	žádná	14,0	14,0	14,0	13,5	13,2	13,0	12,0	11,5	10,5	8,0	7,0
	A	23,4	21,6	23,2	24,0	24,3	24,9	24,0	23,5	22,6	20,1	19,1
	B	23,4	21,8	23,0	23,9	24,2	24,7	23,9	23,5	22,6	20,1	19,1
	C	21,5	19,1	20,0	20,9	21,3	21,8	21,1	20,9	20,0	17,5	16,5
240–250	žádná	14,0	14,0	14,0	14,0	13,7	13,5	12,5	12,0	11,0	8,5	7,5
	A	23,4	21,6	23,2	24,5	24,8	25,4	24,5	24,0	23,1	20,6	19,6
	B	23,4	21,8	23,0	24,4	24,7	25,2	24,4	24,0	23,1	20,6	19,6
	C	21,5	19,1	20,0	21,4	21,8	22,3	21,6	21,4	20,5	18,0	17,0

- ΔL_w vážené snížení hladiny kročejového zvuku dle zkušební metody v novém dokumentu EAD 01 (adopted)
- Podlahová skladba A: betonové/kamenné dlaždice, štěrkové lože, netkaná textilie a nopová fólie (drenážní rohož)
Podlahová skladba B: betonové/kamenné dlaždice a terče
Podlahová skladba C: terasová prkna ze dřeva/dřevoplastu, podkladní konstrukce (dřevěná nebo hliníková) a terče

I Barevně vyznačené hodnoty

Tyto hodnoty byly naměřeny metodou dle EAD 01 (adopted version). Všechny ostatní hodnoty byly vypočteny Metodou konečných prvků 3D na virtuálním zkušebním vzorku, kterou vyvinula vysoká technická škola HfT Stuttgart v souladu se zkušební metodou dle EAD 01 (adopted version).

Schöck Isokorb® XT typ QL

XT typ QL 6.0	VV1	VV2	VV3	VV4	VV5	VV6	VV7	VV8	VV9	VV10	VV11	
H [mm]	skladba	ΔL_w [dB]										
160–170	žádná	11,5	10,5	10,0	9,5	9,0	-	-	-	-	-	-
	A	20,3	20,3	19,8	20,3	20,5	-	-	-	-	-	-
	B	20,2	20,4	19,9	20,5	20,7	-	-	-	-	-	-
	C	17,3	17,4	16,9	17,4	17,5	-	-	-	-	-	-
180–190	žádná	12,5	11,5	11,0	10,5	10,0	9,4	8,0	7,0	6,5	5,5	-
	A	21,3	21,3	20,8	21,3	21,5	23,0	22,6	21,6	22,4	21,4	-
	B	21,2	21,4	20,9	21,5	21,7	22,6	21,8	20,8	21,2	20,2	-
	C	18,3	18,4	17,9	18,4	18,5	19,8	19,5	18,5	19,2	18,2	-
200–210	žádná	12,5	11,5	11,0	10,5	10,0	9,4	8,0	7,0	6,5	6,0	5,5
	A	21,3	21,3	20,8	21,3	21,5	23,0	22,6	21,6	22,4	21,9	21,4
	B	21,2	21,4	20,9	21,5	21,7	22,6	21,8	20,8	21,2	20,7	20,2
	C	18,3	18,4	17,9	18,4	18,5	19,8	19,5	18,5	19,2	18,7	18,2
220–230	žádná	13,0	12,0	11,5	11,0	10,5	9,9	8,5	7,5	7,0	6,5	6,0
	A	21,8	21,8	21,3	21,8	22,0	23,5	23,1	22,1	22,9	22,4	21,9
	B	21,7	21,9	21,4	22,0	22,2	23,1	22,3	21,3	21,7	21,2	20,7
	C	18,8	18,9	18,4	18,9	19,0	20,3	20,0	19,0	19,7	19,2	18,7
240–250	žádná	13,5	12,5	12,0	11,5	11,0	10,4	9,0	8,0	7,5	7,0	6,5
	A	22,3	22,3	21,8	22,3	22,5	24,0	23,6	22,6	23,4	22,9	22,4
	B	22,2	22,4	21,9	22,5	22,7	23,6	22,8	21,8	22,2	21,7	21,2
	C	19,3	19,4	18,9	19,4	19,5	20,8	20,5	19,5	20,2	19,7	19,2

- ΔL_w vážené snížení hladiny kročejového zvuku dle zkušební metody v novém dokumentu EAD 01 (adopted)
- Podlahová skladba A: betonové/kamenné dlaždice, štěrkové lože, netkaná textilie a nopová fólie (drenážní rohož)
Podlahová skladba B: betonové/kamenné dlaždice a terče
Podlahová skladba C: terasová prkna ze dřeva/dřevoplastu, podkladní konstrukce (dřevěná nebo hliníková) a terče

I Barevně vyznačené hodnoty

Tyto hodnoty byly naměřeny metodou dle EAD 01 (adopted version). Všechny ostatní hodnoty byly vypočteny Metodou konečných prvků 3D na virtuálním zkušebním vzorku, kterou vyvinula vysoká technická škola HFT Stuttgart v souladu se zkušební metodou dle EAD 01 (adopted version).

Schöck Isokorb® XT typ QP

XT typ QP 5.0		V1	V2	V3	V4	V5	V6	V7	V8	V9	V10
H [mm]	skladba	ΔL_w [dB]									
180–190	žádná	14,0	14,0	13,0	12,0	11,0	-	-	-	-	-
	A	20,6	21,1	20,6	19,6	18,6	-	-	-	-	-
	B	20,9	21,3	20,8	19,8	18,8	-	-	-	-	-
	C	18,8	19,3	18,8	17,8	16,8	-	-	-	-	-
200–210	žádná	14,0	14,0	13,0	12,0	11,0	10,0	9,0	8,5	8,0	7,5
	A	20,6	21,1	20,6	19,6	18,6	17,6	16,6	16,1	15,6	15,1
	B	20,9	21,3	20,8	19,8	18,8	17,8	16,8	16,3	15,8	15,3
	C	18,8	19,3	18,8	17,8	16,8	15,8	14,8	14,3	13,8	13,3
220–230	žádná	14,0	14,0	13,5	12,5	11,5	10,5	9,5	9,0	8,5	8,0
	A	20,6	21,1	21,1	20,1	19,1	18,1	17,1	16,6	16,1	15,6
	B	20,9	21,3	21,3	20,3	19,3	18,3	17,3	16,8	16,3	15,8
	C	18,8	19,3	19,3	18,3	17,3	16,3	15,3	14,8	14,3	13,8
240–250	žádná	14,0	14,0	14,0	13,0	12,0	11,0	10,0	9,5	9,0	8,5
	A	20,6	21,1	21,6	20,6	19,6	18,6	17,6	17,1	16,6	16,1
	B	20,9	21,3	21,8	20,8	19,8	18,8	17,8	17,3	16,8	16,3
	C	18,8	19,3	19,8	18,8	17,8	16,8	15,8	15,3	14,8	14,3

- ΔL_w vážené snížení hladiny kročejového zvuku dle zkušební metody v novém dokumentu EAD 01 (adopted)
- Podlahová skladba A: betonové/kamenné dlaždice, štěrkové lože, netkaná textilie a nopová fólie (drenážní rohož)
Podlahová skladba B: betonové/kamenné dlaždice a terče
Podlahová skladba C: terasová prkna ze dřeva/dřevoplastu, podkladní konstrukce (dřevěná nebo hliníková) a terče

i Barevně vyznačené hodnoty

Tyto hodnoty byly naměřeny metodou dle EAD 01 (adopted version). Všechny ostatní hodnoty byly vypočteny Metodou konečných prvků 3D na virtuálním zkušebním vzorku, kterou vyvinula vysoká technická škola HfT Stuttgart v souladu se zkušební metodou dle EAD 01 (adopted version).

Schöck Isokorb® XT typ QP

XT typ QP 5.0		VV1	VV2	VV3	VV4	VV5	VV6	VV7	VV8	VV9	VV10
H [mm]	skladba	ΔL_w [dB]									
180–190	žádná	11,0	11,0	10,0	-	-	-	-	-	-	-
	A	17,6	18,1	17,6	-	-	-	-	-	-	-
	B	17,9	18,3	17,8	-	-	-	-	-	-	-
	C	15,8	16,3	15,8	-	-	-	-	-	-	-
200–210	žádná	11,0	11,0	10,0	9,0	8,0	7,0	6,0	5,5	5,0	4,5
	A	17,6	18,1	17,6	16,6	15,6	14,6	13,6	13,1	12,6	12,1
	B	17,9	18,3	17,8	16,8	15,8	14,8	13,8	13,3	12,8	12,3
	C	15,8	16,3	15,8	14,8	13,8	12,8	11,8	11,3	10,8	10,3
220–230	žádná	11,5	11,5	10,5	9,5	8,5	7,5	6,5	6,0	5,5	5,0
	A	18,1	18,6	18,1	17,1	16,1	15,1	14,1	13,6	13,1	12,6
	B	18,4	18,8	18,3	17,3	16,3	15,3	14,3	13,8	13,3	12,8
	C	16,3	16,8	16,3	15,3	14,3	13,3	12,3	11,8	11,3	10,8
240–250	žádná	12,0	12,0	11,0	10,0	9,0	8,0	7,0	6,5	6,0	5,5
	A	18,6	19,1	18,6	17,6	16,6	15,6	14,6	14,1	13,6	13,1
	B	18,9	19,3	18,8	17,8	16,8	15,8	14,8	14,3	13,8	13,3
	C	16,8	17,3	16,8	15,8	14,8	13,8	12,8	12,3	11,8	11,3

- ΔL_w vážené snížení hladiny kročejového zvuku dle zkušební metody v novém dokumentu EAD 01 (adopted)
- Podlahová skladba A: betonové/kamenné dlaždice, štěrkové lože, netkaná textilie a nopová fólie (drenážní rohož)
Podlahová skladba B: betonové/kamenné dlaždice a terče
Podlahová skladba C: terasová prkna ze dřeva/dřevoplastu, podkladní konstrukce (dřevěná nebo hliníková) a terče

i Barevně vyznačené hodnoty

Tyto hodnoty byly naměřeny metodou dle EAD 01 (adopted version). Všechny ostatní hodnoty byly vypočteny Metodou konečných prvků 3D na virtuálním zkušebním vzorku, kterou vyvinula vysoká technická škola HfT Stuttgart v souladu se zkušební metodou dle EAD 01 (adopted version).

Schöck Isokorb® XT typ QP-Z

XT typ QP-Z 5.0		V1	V2	V3	V4	V5	V6	V7	V8	V9	V10
H [mm]	skladba	ΔL_w [dB]									
180–190	žádná	14,0	14,0	13,0	12,0	11,0	-	-	-	-	-
	A	22,6	22,6	21,6	20,6	19,6	-	-	-	-	-
	B	22,8	22,8	21,8	20,8	19,8	-	-	-	-	-
	C	20,3	20,3	19,3	18,3	17,3	-	-	-	-	-
200–210	žádná	14,0	14,0	13,0	12,0	11,0	10,0	9,0	8,5	8,0	7,5
	A	22,6	22,6	21,6	20,6	19,6	18,6	17,6	17,1	16,6	16,1
	B	22,8	22,8	21,8	20,8	19,8	18,8	17,8	17,3	16,8	16,3
	C	20,3	20,3	19,3	18,3	17,3	16,3	15,3	14,8	14,3	13,8
220–230	žádná	14,5	14,5	13,5	12,5	11,5	10,5	9,5	9,0	8,5	8,0
	A	23,1	23,1	22,1	21,1	20,1	19,1	18,1	17,6	17,1	16,6
	B	23,3	23,3	22,3	21,3	20,3	19,3	18,3	17,8	17,3	16,8
	C	20,8	20,8	19,8	18,8	17,8	16,8	15,8	15,3	14,8	14,3
240–250	žádná	15,0	15,0	14,0	13,0	12,0	11,0	10,0	9,5	9,0	8,5
	A	23,6	23,6	22,6	21,6	20,6	19,6	18,6	18,1	17,6	17,1
	B	23,8	23,8	22,8	21,8	20,8	19,8	18,8	18,3	17,8	17,3
	C	21,3	21,3	20,3	19,3	18,3	17,3	16,3	15,8	15,3	14,8

- ΔL_w vážené snížení hladiny kročejového zvuku dle zkušební metody v novém dokumentu EAD 01 (adopted)
- Podlahová skladba A: betonové/kamenné dlaždice, štěrkové lože, netkaná textilie a nopová fólie (drenážní rohož)
Podlahová skladba B: betonové/kamenné dlaždice a terče
Podlahová skladba C: terasová prkna ze dřeva/dřevoplastu, podkladní konstrukce (dřevěná nebo hliníková) a terče

i Barevně vyznačené hodnoty

Tyto hodnoty byly naměřeny metodou dle EAD 01 (adopted version). Všechny ostatní hodnoty byly vypočteny Metodou konečných prvků 3D na virtuálním zkušebním vzorku, kterou vyvinula vysoká technická škola HfT Stuttgart v souladu se zkušební metodou dle EAD 01 (adopted version).

Schöck Isokorb® XT typ CL

XT typ CL-L/R 5.0		M1-V1	M1-V2	M2-V1	M2-V2
H [mm]	skladba	ΔL_w [dB]			
180–190	žádná	8,5	-	7,5	-
	A	21,9	-	20,9	-
	B	21,5	-	20,5	-
	C	18,3	-	17,3	-
200–210	žádná	8,5	6,5	7,5	5,5
	A	21,9	19,9	20,9	18,9
	B	21,5	19,5	20,5	18,5
	C	18,3	16,3	17,3	15,3
220–230	žádná	9,0	7,0	8,0	6,0
	A	22,4	20,4	21,4	19,4
	B	22,0	20,0	21,0	19,0
	C	18,8	16,8	17,8	15,8
240–250	žádná	9,5	7,5	8,5	6,5
	A	22,9	20,9	21,9	19,9
	B	22,5	20,5	21,5	19,5
	C	19,3	17,3	18,3	16,3

- ΔL_w vážené snížení hladiny kročejového zvuku dle zkušební metody v novém dokumentu EAD 01 (adopted)
- Podlahová skladba A: betonové/kamenné dlaždice, štěrkové lože, netkaná textilie a nopová fólie (drenážní rohož)
Podlahová skladba B: betonové/kamenné dlaždice a terče
Podlahová skladba C: terasová prkna ze dřeva/dřevoplastu, podkladní konstrukce (dřevěná nebo hliníková) a terče

i Barevně vyznačené hodnoty

Tyto hodnoty byly naměřeny metodou dle EAD 01 (adopted version). Všechny ostatní hodnoty byly vypočteny Metodou konečných prvků 3D na virtuálním zkušebním vzorku, kterou vyvinula vysoká technická škola HfT Stuttgart v souladu se zkušební metodou dle EAD 01 (adopted version).

Schöck Isokorb® XT typ HP

XT typ HP 5.2		NN1	NN2	VV1-NN1	VV2-NN1
H [mm]	skladba	ΔL_w [dB]			
160–170	žádná	15,0	12,0	15,0	15,0
	A	23,6	20,6	23,6	23,6
	B	23,8	20,8	23,8	23,8
	C	21,3	18,3	21,3	21,3
180–190	žádná	15,0	12,0	15,0	15,0
	A	23,6	20,6	23,6	23,6
	B	23,8	20,8	23,8	23,8
	C	21,3	18,3	21,3	21,3
200–210	žádná	15,0	12,0	15,0	15,0
	A	23,6	20,6	23,6	23,6
	B	23,8	20,8	23,8	23,8
	C	21,3	18,3	21,3	21,3
220–230	žádná	15,0	12,0	15,0	15,0
	A	23,6	20,6	23,6	23,6
	B	23,8	20,8	23,8	23,8
	C	21,3	18,3	21,3	21,3
240–250	žádná	15,0	12,0	15,0	15,0
	A	23,6	20,6	23,6	23,6
	B	23,8	20,8	23,8	23,8
	C	21,3	18,3	21,3	21,3

- ΔL_w vážené snížení hladiny kročejevého zvuku dle zkušební metody v novém dokumentu EAD 01 (adopted)
- Podlahová skladba A: betonové/kamenné dlaždice, štěrkové lože, netkaná textilie a nopová fólie (drenážní rohož)
Podlahová skladba B: betonové/kamenné dlaždice a terče
Podlahová skladba C: terasová prkna ze dřeva/dřevoplastu, podkladní konstrukce (dřevěná nebo hliníková) a terče

I Barevně vyznačené hodnoty

Tyto hodnoty byly naměřeny metodou dle EAD 01 (adopted version). Všechny ostatní hodnoty byly vypočteny Metodou konečných prvků 3D na virtuálním zkušebním vzorku, kterou vyvinula vysoká technická škola HfT Stuttgart v souladu se zkušební metodou dle EAD 01 (adopted version).

Schöck Isokorb® XT typ ZL

XT typ ZL 5.2/5.0		EI120	EI120-T
H [mm]	skladba	ΔL_w [dB]	
160–250	žádná	20,0	15,0
	A	28,6	23,6
	B	28,8	23,8
	C	26,3	21,3

- ΔL_w vážené snížení hladiny kročejového zvuku dle zkušební metody v novém dokumentu EAD 01 (adopted)
- Podlahová skladba A: betonové/kamenné dlaždice, štěrkové lože, netkaná textilie a nopová fólie (drenážní rohož)
Podlahová skladba B: betonové/kamenné dlaždice a terče
Podlahová skladba C: terasová prkna ze dřeva/dřevoplastu, podkladní konstrukce (dřevěná nebo hliníková) a terče

i Barevně vyznačené hodnoty

Tyto hodnoty byly naměřeny metodou dle EAD 01 (adopted version). Všechny ostatní hodnoty byly vypočteny Metodou konečných prvků 3D na virtuálním zkušebním vzorku, kterou vyvinula vysoká technická škola HfT Stuttgart v souladu se zkušební metodou dle EAD 01 (adopted version).

Schöck Isokorb® XT typ DP

XT typ DP 6.0		MM1-VV1	MM1-VV2	MM1-VV3	MM2-VV1	MM2-VV2	MM2-VV3
H [mm]	skladba	ΔL_w [dB]					
160–170	žádná	10,0	7,5	8,0	10,0	8,8	-
	A	20,6	18,1	21,4	20,6	19,3	-
	B	20,5	18,0	21,0	20,5	19,2	-
	C	17,5	15,0	17,8	17,5	16,2	-
180–190	žádná	11,0	10,0	9,0	11,0	9,8	8,5
	A	21,6	20,6	22,4	21,6	20,3	21,9
	B	21,5	20,5	22,0	21,5	20,2	21,5
	C	18,5	17,5	18,8	18,5	17,2	18,3
200–210	žádná	11,0	10,0	9,0	11,0	9,8	8,5
	A	21,6	20,6	22,4	21,6	20,3	21,9
	B	21,5	20,5	22,0	21,5	20,2	21,5
	C	18,5	17,5	18,8	18,5	17,2	18,3
220–230	žádná	11,5	10,5	9,5	11,5	10,3	9,0
	A	22,1	21,1	22,9	22,1	20,9	22,4
	B	22,0	21,0	22,5	22,0	20,8	22,0
	C	19,0	18,0	19,3	19,0	17,8	18,8
240–250	žádná	12,0	11,0	10,0	12,0	10,8	9,5
	A	22,6	21,6	23,4	22,6	21,3	22,9
	B	22,5	21,5	23,0	22,5	21,2	22,5
	C	19,5	18,5	19,8	19,5	18,2	19,3

- ΔL_w vážené snížení hladiny kročejového zvuku dle zkušební metody v novém dokumentu EAD 01 (adopted)
- Podlahová skladba A: betonové/kamenné dlaždice, štěrkové lože, netkaná textilie a nopová fólie (drenážní rohož)
Podlahová skladba B: betonové/kamenné dlaždice a terče
Podlahová skladba C: terasová prkna ze dřeva/dřevoplastu, podkladní konstrukce (dřevěná nebo hliníková) a terče

I Barevně vyznačené hodnoty

Tyto hodnoty byly naměřeny metodou dle EAD 01 (adopted version). Všechny ostatní hodnoty byly vypočteny Metodou konečných prvků 3D na virtuálním zkušebním vzorku, kterou vyvinula vysoká technická škola HfT Stuttgart v souladu se zkušební metodou dle EAD 01 (adopted version).

Schöck Isokorb® XT typ DP

XT typ DP 6.0	MM3-VV1	MM3-VV2	MM3-VV3	MM3-VV4	MM3-VV5	MM4-VV1	MM4-VV2	MM4-VV3	MM4-VV4	MM4-VV5	
H [mm]	skladba	ΔL_w [dB]									
160–170	žádná	10,0	8,5	-	-	-	9,0	8,0	-	-	-
	A	20,6	19,1	-	-	-	19,6	18,6	-	-	-
	B	20,5	19,0	-	-	-	19,5	18,5	-	-	-
	C	17,5	16,0	-	-	-	16,5	15,5	-	-	-
180–190	žádná	11,0	9,5	8,0	6,0	4,0	10,0	9,0	8,0	6,0	4,0
	A	21,6	20,1	21,4	19,4	17,4	20,6	19,6	21,5	19,5	17,5
	B	21,5	20,0	21,0	19,0	17,0	20,5	19,5	21,0	19,0	17,0
	C	18,5	17,0	17,8	15,8	13,8	17,5	16,5	18,1	16,1	14,1
200–210	žádná	11,0	9,5	8,0	6,0	4,0	10,0	9,0	8,0	6,0	4,0
	A	21,6	20,1	21,4	19,4	17,4	20,6	19,6	21,5	19,5	17,5
	B	21,5	20,0	21,0	19,0	17,0	20,5	19,5	21,0	19,0	17,0
	C	18,5	17,0	17,8	15,8	13,8	17,5	16,5	18,1	16,1	14,1
220–230	žádná	11,5	10,0	8,5	6,5	4,5	10,5	9,5	8,5	6,5	4,5
	A	22,1	20,6	21,9	19,9	17,9	21,1	20,1	22,0	20,0	18,0
	B	22,0	20,5	21,5	19,5	17,5	21,0	20,0	21,5	19,5	17,5
	C	19,0	17,5	18,3	16,3	14,3	18,0	17,0	18,6	16,6	14,6
240–250	žádná	12,0	10,5	9,0	7,0	5,0	11,0	10,0	9,0	7,0	5,0
	A	22,6	21,1	22,4	20,4	18,4	21,6	20,6	22,5	20,5	18,5
	B	22,5	21,0	22,0	20,0	18,0	21,5	20,5	22,0	20,0	18,0
	C	19,5	18,0	18,8	16,8	14,8	18,5	17,5	19,1	17,1	15,1

- ΔL_w vážené snížení hladiny kročejového zvuku dle zkušební metody v novém dokumentu EAD 01 (adopted)
- Podlahová skladba A: betonové/kamenné dlaždice, štěrkové lože, netkaná textilie a nopová fólie (drenážní rohož)
Podlahová skladba B: betonové/kamenné dlaždice a terče
Podlahová skladba C: terasová prkna ze dřeva/dřevoplastu, podkladní konstrukce (dřevěná nebo hliníková) a terče

I Barevně vyznačené hodnoty

Tyto hodnoty byly naměřeny metodou dle EAD 01 (adopted version). Všechny ostatní hodnoty byly vypočteny Metodou konečných prvků 3D na virtuálním zkušebním vzorku, kterou vyvinula vysoká technická škola HFT Stuttgart v souladu se zkušební metodou dle EAD 01 (adopted version).

Schöck Isokorb® XT typ DP

XT typ DP 6.0	MM5-VV1	MM5-VV2	MM5-VV3	MM5-VV4	MM5-VV5	MM6-VV1	MM6-VV2	MM6-VV3	MM6-VV4	MM6-VV5	
H [mm]	skladba	ΔL_w [dB]									
160–170	žádná	8,0	7,5	-	-	-	3,0	3,0	-	-	-
	A	18,6	18,1	-	-	-	16,0	16,0	-	-	-
	B	18,5	18,0	-	-	-	15,0	15,0	-	-	-
	C	15,5	15,0	-	-	-	14,0	14,0	-	-	-
180–190	žádná	9,0	8,5	8,0	6,0	4,0	3,0	3,0	3,0	3,0	3,0
	A	19,6	19,1	21,7	19,7	17,7	16,0	16,0	16,0	16,0	16,0
	B	19,5	19,0	21,0	19,0	17,0	15,0	15,0	15,0	15,0	15,0
	C	16,5	16,0	18,4	16,4	14,4	14,0	14,0	14,0	14,0	14,0
200–210	žádná	9,0	8,5	8,0	6,0	4,0	3,0	3,0	3,0	3,0	3,0
	A	19,6	19,1	21,7	19,7	17,7	16,0	16,0	16,0	16,0	16,0
	B	19,5	19,0	21,0	19,0	17,0	15,0	15,0	15,0	15,0	15,0
	C	16,5	16,0	18,4	16,4	14,4	14,0	14,0	14,0	14,0	14,0
220–230	žádná	9,5	9,0	8,5	6,5	4,5	3,0	3,0	3,0	3,0	3,0
	A	20,1	19,6	22,2	20,2	18,2	16,0	16,0	16,0	16,0	16,0
	B	20,0	19,5	21,5	19,5	17,5	15,0	15,0	15,0	15,0	15,0
	C	17,0	16,5	18,9	16,9	14,9	14,0	14,0	14,0	14,0	14,0
240–250	žádná	10,0	9,5	9,0	7,0	5,0	3,0	3,0	3,0	3,0	3,0
	A	20,6	20,1	22,7	20,7	18,7	16,0	16,0	16,0	16,0	16,0
	B	20,5	20,0	22,0	20,0	18,0	15,0	15,0	15,0	15,0	15,0
	C	17,5	17,0	19,4	17,4	15,4	14,0	14,0	14,0	14,0	14,0

- ΔL_w vážené snížení hladiny kročejevého zvuku dle zkušební metody v novém dokumentu EAD 01 (adopted)
- Podlahová skladba A: betonové/kamenné dlaždice, štěrkové lože, netkaná textilie a nopová fólie (drenážní rohož)
Podlahová skladba B: betonové/kamenné dlaždice a terče
Podlahová skladba C: terasová prkna ze dřeva/dřevoplastu, podkladní konstrukce (dřevěná nebo hliníková) a terče

I Barevně vyznačené hodnoty

Tyto hodnoty byly naměřeny metodou dle EAD 01 (adopted version). Všechny ostatní hodnoty byly vypočteny Metodou konečných prvků 3D na virtuálním zkušebním vzorku, kterou vyvinula vysoká technická škola HfT Stuttgart v souladu se zkušební metodou dle EAD 01 (adopted version).

Tepelná ochrana

Schöck Isokorb® XT typ KL

XT typ KL 6.2	M1-V1		M1-V2		M2-V1		M2-V2	
	R_{eq}	λ_{eq}	R_{eq}	λ_{eq}	R_{eq}	λ_{eq}	R_{eq}	λ_{eq}
H [mm]								
160	1,519	0,079	1,412	0,085	1,237	0,097	1,154	0,104
170	1,579	0,076	1,463	0,082	1,290	0,093	1,200	0,100
180	1,622	0,074	1,500	0,080	1,348	0,089	1,250	0,096
190	1,690	0,071	1,558	0,077	1,395	0,086	1,304	0,092
200	1,739	0,069	1,600	0,075	1,446	0,083	1,348	0,089
210	1,791	0,067	1,644	0,073	1,481	0,081	1,395	0,086
220	1,818	0,066	1,690	0,071	1,519	0,079	1,429	0,084
230	1,875	0,064	1,739	0,069	1,558	0,077	1,481	0,081
240	1,905	0,063	1,765	0,068	1,600	0,075	1,500	0,080
250	1,967	0,061	1,818	0,066	1,644	0,073	1,538	0,078

XT typ KL 6.2	M3-V1		M3-V2		M3-VV1		M4-V1		M4-V2	
	R_{eq}	λ_{eq}	R_{eq}	λ_{eq}	R_{eq}	λ_{eq}	R_{eq}	λ_{eq}	R_{eq}	λ_{eq}
H [mm]										
160	1,091	0,110	1,000	0,120	0,764	0,157	0,984	0,122	0,916	0,131
170	1,143	0,105	1,043	0,115	0,805	0,149	1,026	0,117	0,960	0,125
180	1,188	0,101	1,081	0,111	0,839	0,143	1,062	0,113	1,000	0,120
190	1,237	0,097	1,121	0,107	0,876	0,137	1,111	0,108	1,043	0,115
200	1,277	0,094	1,165	0,103	0,909	0,132	1,154	0,104	1,081	0,111
210	1,319	0,091	1,212	0,099	0,945	0,127	1,188	0,101	1,111	0,108
220	1,364	0,088	1,250	0,096	0,984	0,122	1,237	0,097	1,154	0,104
230	1,412	0,085	1,290	0,093	1,017	0,118	1,263	0,095	1,188	0,101
240	1,446	0,083	1,319	0,091	1,043	0,115	1,304	0,092	1,224	0,098
250	1,481	0,081	1,364	0,088	1,071	0,112	1,348	0,089	1,263	0,095

- R_{eq} ekvivalentní tepelný odpor v $m^2 \cdot K/W$
- λ_{eq} ekvivalentní tepelná vodivost ve $W/(m \cdot K)$
- Hodnoty byly stanoveny dle EAD (European Assessment Document): EAD 050001-00-0301 (2018/C 090/04)

Schöck Isokorb® XT typ KL

XT typ KL 6.2	M4-V3		M4-VV1		M5-V1		M5-V2		M5-V3		M5-VV1	
	H [mm]	R _{eq}	λ _{eq}	R _{eq}	λ _{eq}	R _{eq}	λ _{eq}	R _{eq}	λ _{eq}	R _{eq}	λ _{eq}	R _{eq}
160	0,839	0,143	0,741	0,162	0,909	0,132	0,851	0,141	0,811	0,148	0,625	0,192
170	0,876	0,137	0,779	0,154	0,952	0,126	0,889	0,135	0,845	0,142	0,656	0,183
180	0,923	0,130	0,816	0,147	0,992	0,121	0,930	0,129	0,882	0,136	0,686	0,175
190	0,960	0,125	0,845	0,142	1,034	0,116	0,976	0,123	0,923	0,130	0,719	0,167
200	1,000	0,120	0,882	0,136	1,071	0,112	1,008	0,119	0,960	0,125	0,750	0,160
210	1,034	0,116	0,916	0,131	1,101	0,109	1,053	0,114	1,000	0,120	0,779	0,154
220	1,062	0,113	0,952	0,126	1,143	0,105	1,081	0,111	1,034	0,116	0,811	0,148
230	1,101	0,109	0,984	0,122	1,176	0,102	1,111	0,108	1,062	0,113	0,833	0,144
240	1,132	0,106	1,017	0,118	1,212	0,099	1,143	0,105	1,091	0,110	0,863	0,139
250	1,165	0,103	1,043	0,115	1,250	0,096	1,188	0,101	1,121	0,107	0,889	0,135

XT typ KL 6.2	M6-V1		M6-V2		M6-V3		M6-VV1	
	H [mm]	R _{eq}	λ _{eq}	R _{eq}	λ _{eq}	R _{eq}	λ _{eq}	R _{eq}
160	0,828	0,145	0,784	0,153	0,727	0,165	0,571	0,210
170	0,870	0,138	0,822	0,146	0,764	0,157	0,603	0,199
180	0,909	0,132	0,857	0,140	0,800	0,150	0,632	0,190
190	0,952	0,126	0,896	0,134	0,833	0,144	0,663	0,181
200	0,992	0,121	0,930	0,129	0,870	0,138	0,690	0,174
210	1,026	0,117	0,968	0,124	0,902	0,133	0,719	0,167
220	1,062	0,113	1,008	0,119	0,938	0,128	0,745	0,161
230	1,091	0,110	1,043	0,115	0,968	0,124	0,774	0,155
240	1,121	0,107	1,062	0,113	1,000	0,120	0,800	0,150
250	1,154	0,104	1,101	0,109	1,034	0,116	0,822	0,146

- R_{eq} ekvivalentní tepelný odpor v m²·K/W
- λ_{eq} ekvivalentní tepelná vodivost ve W/(m·K)
- Hodnoty byly stanoveny dle EAD (European Assessment Document): EAD 050001-00-0301 (2018/C 090/04)

Schöck Isokorb® XT typ KL

XT typ KL 6.2	M7-V1		M7-V2		M7-VV1		M8-V1		M8-V2		M8-VV1	
	H [mm]	R_{eq}	λ_{eq}	R_{eq}	λ_{eq}	R_{eq}	λ_{eq}	R_{eq}	λ_{eq}	R_{eq}	λ_{eq}	R_{eq}
160	0,638	0,188	0,612	0,196	0,504	0,238	0,585	0,205	0,566	0,212	0,448	0,268
170	0,674	0,178	0,645	0,186	0,533	0,225	0,615	0,195	0,594	0,202	0,472	0,254
180	0,702	0,171	0,674	0,178	0,561	0,214	0,649	0,185	0,622	0,193	0,496	0,242
190	0,736	0,163	0,706	0,170	0,585	0,205	0,674	0,178	0,652	0,184	0,522	0,230
200	0,769	0,156	0,736	0,163	0,612	0,196	0,706	0,170	0,678	0,177	0,545	0,220
210	0,800	0,150	0,769	0,156	0,638	0,188	0,732	0,164	0,706	0,170	0,569	0,211
220	0,822	0,146	0,795	0,151	0,663	0,181	0,764	0,157	0,736	0,163	0,591	0,203
230	0,851	0,141	0,822	0,146	0,686	0,175	0,789	0,152	0,764	0,157	0,612	0,196
240	0,882	0,136	0,851	0,141	0,710	0,169	0,816	0,147	0,789	0,152	0,635	0,189
250	0,909	0,132	0,876	0,137	0,736	0,163	0,839	0,143	0,816	0,147	0,659	0,182

XT typ KL 6.2	M9-V1		M9-V2		M10-V1		M10-V2	
	H [mm]	R_{eq}	λ_{eq}	R_{eq}	λ_{eq}	R_{eq}	λ_{eq}	R_{eq}
160	0,440	0,273	0,435	0,276	0,430	0,279	0,424	0,283
170	0,463	0,259	0,458	0,262	0,453	0,265	0,448	0,268
180	0,488	0,246	0,482	0,249	0,478	0,251	0,471	0,255
190	0,511	0,235	0,504	0,238	0,500	0,240	0,494	0,243
200	0,536	0,224	0,526	0,228	0,522	0,230	0,515	0,233
210	0,558	0,215	0,550	0,218	0,545	0,220	0,538	0,223
220	0,580	0,207	0,571	0,210	0,569	0,211	0,561	0,214
230	0,603	0,199	0,594	0,202	0,588	0,204	0,580	0,207
240	0,625	0,192	0,615	0,195	0,612	0,196	0,603	0,199
250	0,645	0,186	0,638	0,188	0,632	0,190	0,625	0,192

- R_{eq} ekvivalentní tepelný odpor v $m^2 \cdot K/W$
- λ_{eq} ekvivalentní tepelná vodivost ve $W/(m \cdot K)$
- Hodnoty byly stanoveny dle EAD (European Assessment Document): EAD 050001-00-0301 (2018/C 090/04)

Schöck Isokorb® XT typ KP

XT typ KP 6.1	M11-V1		M11-V2		M11-V3		M12-V1		M12-V2		M12-V3	
	H [mm]	R _{eq}	λ _{eq}	R _{eq}	λ _{eq}	R _{eq}	λ _{eq}	R _{eq}	λ _{eq}	R _{eq}	λ _{eq}	R _{eq}
180	0,346	0,347	-	-	-	-	0,303	0,396	-	-	-	-
190	0,363	0,331	0,349	0,344	-	-	0,319	0,376	0,307	0,391	-	-
200	0,380	0,316	0,365	0,329	-	-	0,333	0,360	0,323	0,372	-	-
210	0,396	0,303	0,381	0,315	0,354	0,339	0,350	0,343	0,337	0,356	0,317	0,379
220	0,414	0,290	0,397	0,302	0,370	0,324	0,364	0,330	0,352	0,341	0,330	0,364
230	0,430	0,279	0,414	0,290	0,386	0,311	0,380	0,316	0,366	0,328	0,344	0,349
240	0,446	0,269	0,430	0,279	0,400	0,300	0,393	0,305	0,381	0,315	0,357	0,336
250	0,463	0,259	0,444	0,270	0,415	0,289	0,408	0,294	0,393	0,305	0,370	0,324

XT typ KP 6.1	M13-V1		M13-V2		M13-V3	
	H [mm]	R _{eq}	λ _{eq}	R _{eq}	λ _{eq}	R _{eq}
180	0,270	0,444	-	-	-	-
190	0,284	0,423	0,275	0,437	-	-
200	0,298	0,403	0,288	0,416	-	-
210	0,312	0,385	0,302	0,398	0,285	0,421
220	0,324	0,370	0,315	0,381	0,297	0,404
230	0,339	0,354	0,328	0,366	0,310	0,387
240	0,353	0,340	0,341	0,352	0,323	0,372
250	0,365	0,329	0,354	0,339	0,334	0,359

- R_{eq} ekvivalentní tepelný odpor v m²·K/W
- λ_{eq} ekvivalentní tepelná vodivost ve W/(m·K)
- Hodnoty byly stanoveny dle EAD (European Assessment Document): EAD 050001-00-0301 (2018/C 090/04)

Schöck Isokorb® XT typ KL-U, KL-O

XT typ KL-U 7.2	M1-V1		M2-V1		M3-V1		M4-V1	
	H [mm]	R_{eq}	λ_{eq}	R_{eq}	λ_{eq}	R_{eq}	λ_{eq}	R_{eq}
160	0,938	0,128	0,741	0,162	0,574	0,209	0,511	0,235
170	0,984	0,122	0,779	0,154	0,606	0,198	0,538	0,223
180	1,026	0,117	0,816	0,147	0,635	0,189	0,566	0,212
190	1,062	0,113	0,845	0,142	0,667	0,180	0,591	0,203
200	1,101	0,109	0,882	0,136	0,694	0,173	0,619	0,194
210	1,143	0,105	0,916	0,131	0,719	0,167	0,645	0,186
220	1,188	0,101	0,952	0,126	0,750	0,160	0,670	0,179
230	1,224	0,098	0,984	0,122	0,779	0,154	0,694	0,173
240	1,263	0,095	1,017	0,118	0,805	0,149	0,719	0,167
250	1,290	0,093	1,053	0,114	0,828	0,145	0,745	0,161

XT typ KL-O 7.2	M1-V1		M2-V1		M3-V1		M4-V1	
	H [mm]	R_{eq}	λ_{eq}	R_{eq}	λ_{eq}	R_{eq}	λ_{eq}	R_{eq}
160	0,992	0,121	0,774	0,155	0,663	0,181	0,511	0,235
170	1,043	0,115	0,816	0,147	0,694	0,173	0,538	0,223
180	1,081	0,111	0,851	0,141	0,732	0,164	0,566	0,212
190	1,121	0,107	0,882	0,136	0,764	0,157	0,591	0,203
200	1,165	0,103	0,923	0,130	0,795	0,151	0,619	0,194
210	1,200	0,100	0,960	0,125	0,822	0,146	0,645	0,186
220	1,250	0,096	0,992	0,121	0,857	0,140	0,670	0,179
230	1,290	0,093	1,026	0,117	0,882	0,136	0,694	0,173
240	1,319	0,091	1,062	0,113	0,916	0,131	0,719	0,167
250	1,364	0,088	1,081	0,111	0,945	0,127	0,745	0,161

- R_{eq} ekvivalentní tepelný odpor v $m^2 \cdot K/W$
- λ_{eq} ekvivalentní tepelná vodivost ve $W/(m \cdot K)$
- Hodnoty byly stanoveny dle EAD (European Assessment Document): EAD 050001-00-0301 (2018/C 090/04)

Schöck Isokorb® XT typ QL

XT typ QL 6.0	V1		V2		V3		V4		V5		V6	
H [mm]	R _{eq}	λ _{eq}	R _{eq}	λ _{eq}	R _{eq}	λ _{eq}	R _{eq}	λ _{eq}	R _{eq}	λ _{eq}	R _{eq}	λ _{eq}
160	1,212	0,099	1,188	0,101	1,165	0,103	1,111	0,108	-	-	-	-
170	1,263	0,095	1,237	0,097	1,188	0,101	1,154	0,104	1,101	0,109	-	-
180	1,304	0,092	1,277	0,094	1,224	0,098	1,176	0,102	1,143	0,105	1,111	0,108
190	1,348	0,089	1,319	0,091	1,277	0,094	1,224	0,098	1,188	0,101	1,154	0,104
200	1,412	0,085	1,364	0,088	1,319	0,091	1,263	0,095	1,200	0,100	1,176	0,102
210	1,463	0,082	1,429	0,084	1,348	0,089	1,304	0,092	1,250	0,096	1,212	0,099
220	1,500	0,080	1,463	0,082	1,412	0,085	1,333	0,090	1,277	0,094	1,250	0,096
230	1,538	0,078	1,500	0,080	1,446	0,083	1,379	0,087	1,319	0,091	1,290	0,093
240	1,538	0,078	1,538	0,078	1,481	0,081	1,429	0,084	1,348	0,089	1,319	0,091
250	1,558	0,077	1,538	0,078	1,519	0,079	1,463	0,082	1,379	0,087	1,348	0,089

XT typ QL 6.0	V7		V8		V9		V10		V11	
H [mm]	R _{eq}	λ _{eq}	R _{eq}	λ _{eq}	R _{eq}	λ _{eq}	R _{eq}	λ _{eq}	R _{eq}	λ _{eq}
180	1,017	0,118	0,945	0,127	0,902	0,133	-	-	-	-
190	1,053	0,114	0,976	0,123	0,938	0,128	0,727	0,165	-	-
200	1,091	0,110	1,008	0,119	0,968	0,124	0,759	0,158	0,642	0,187
210	1,132	0,106	1,043	0,115	1,000	0,120	0,789	0,152	0,667	0,180
220	1,165	0,103	1,081	0,111	1,034	0,116	0,805	0,149	0,694	0,173
230	1,176	0,102	1,111	0,108	1,071	0,112	0,833	0,144	0,706	0,170
240	1,212	0,099	1,143	0,105	1,101	0,109	0,857	0,140	0,732	0,164
250	1,250	0,096	1,176	0,102	1,132	0,106	0,889	0,135	0,755	0,159

- R_{eq} ekvivalentní tepelný odpor v m²·K/W
- λ_{eq} ekvivalentní tepelná vodivost ve W/(m·K)
- Hodnoty byly stanoveny dle EAD (European Assessment Document): EAD 050001-00-0301 (2018/C 090/04)

Schöck Isokorb® XT typ QL

XT typ QL 6.0	VV1		VV2		VV3		VV4		VV5		VV6	
	H [mm]	R _{eq}	λ _{eq}	R _{eq}	λ _{eq}	R _{eq}	λ _{eq}	R _{eq}	λ _{eq}	R _{eq}	λ _{eq}	R _{eq}
160	1,111	0,108	1,062	0,113	0,984	0,122	0,923	0,130	-	-	-	-
170	1,154	0,104	1,111	0,108	1,026	0,117	0,960	0,125	0,889	0,135	-	-
180	1,176	0,102	1,154	0,104	1,071	0,112	1,000	0,120	0,930	0,129	0,889	0,135
190	1,224	0,098	1,176	0,102	1,111	0,108	1,034	0,116	0,960	0,125	0,923	0,130
200	1,263	0,095	1,212	0,099	1,154	0,104	1,081	0,111	1,000	0,120	0,960	0,125
210	1,304	0,092	1,250	0,096	1,188	0,101	1,111	0,108	1,034	0,116	0,992	0,121
220	1,333	0,090	1,290	0,093	1,200	0,100	1,154	0,104	1,071	0,112	1,026	0,117
230	1,379	0,087	1,333	0,090	1,237	0,097	1,188	0,101	1,101	0,109	1,053	0,114
240	1,429	0,084	1,364	0,088	1,277	0,094	1,200	0,100	1,132	0,106	1,091	0,110
250	1,463	0,082	1,412	0,085	1,304	0,092	1,224	0,098	1,165	0,103	1,121	0,107

XT typ QL 6.0	VV7		VV8		VV9		VV10		VV11	
	H [mm]	R _{eq}	λ _{eq}	R _{eq}	λ _{eq}	R _{eq}	λ _{eq}	R _{eq}	λ _{eq}	R _{eq}
180	0,811	0,148	0,732	0,164	0,702	0,171	-	-	-	-
190	0,828	0,145	0,764	0,157	0,714	0,168	0,561	0,214	-	-
200	0,863	0,139	0,800	0,150	0,745	0,161	0,580	0,207	0,471	0,255
210	0,896	0,134	0,811	0,148	0,779	0,154	0,606	0,198	0,490	0,245
220	0,930	0,129	0,845	0,142	0,805	0,149	0,628	0,191	0,500	0,240
230	0,960	0,125	0,870	0,138	0,816	0,147	0,642	0,187	0,522	0,230
240	0,984	0,122	0,902	0,133	0,845	0,142	0,667	0,180	0,529	0,227
250	1,008	0,119	0,930	0,129	0,876	0,137	0,686	0,175	0,548	0,219

- R_{eq} ekvivalentní tepelný odpor v m²·K/W
- λ_{eq} ekvivalentní tepelná vodivost ve W/(m·K)
- Hodnoty byly stanoveny dle EAD (European Assessment Document): EAD 050001-00-0301 (2018/C 090/04)

Schöck Isokorb® XT typ QP

XT typ QP 5.0	V1		V2		V3		V4		V5	
H [mm]	R_{eq}	λ_{eq}	R_{eq}	λ_{eq}	R_{eq}	λ_{eq}	R_{eq}	λ_{eq}	R_{eq}	λ_{eq}
180	0,913	0,131	0,918	0,131	0,856	0,140	-	-	-	-
190	0,945	0,127	0,952	0,126	0,896	0,134	0,803	0,149	0,752	0,160
200	0,984	0,122	0,984	0,122	0,923	0,130	0,833	0,144	0,779	0,154
210	1,017	0,118	1,026	0,117	0,960	0,125	0,863	0,139	0,811	0,148
220	1,043	0,115	1,053	0,114	0,992	0,121	0,896	0,134	0,839	0,143
230	1,071	0,112	1,081	0,111	1,026	0,117	0,916	0,131	0,863	0,139
240	1,101	0,109	1,121	0,107	1,053	0,114	0,945	0,127	0,896	0,134
250	1,132	0,106	1,143	0,105	1,081	0,111	0,976	0,123	0,923	0,130

XT typ QP 5.0	V6		V7		V8		V9		V10	
H [mm]	R_{eq}	λ_{eq}	R_{eq}	λ_{eq}	R_{eq}	λ_{eq}	R_{eq}	λ_{eq}	R_{eq}	λ_{eq}
200	0,627	0,191	0,674	0,178	0,620	0,194	0,565	0,213	0,611	0,197
210	0,652	0,184	0,698	0,172	0,645	0,186	0,588	0,204	0,635	0,189
220	0,674	0,178	0,727	0,165	0,670	0,179	0,612	0,196	0,659	0,182
230	0,698	0,172	0,750	0,160	0,694	0,173	0,632	0,190	0,682	0,176
240	0,719	0,167	0,774	0,155	0,719	0,167	0,656	0,183	0,706	0,170
250	0,741	0,162	0,800	0,150	0,741	0,162	0,678	0,177	0,732	0,164

XT typ QP 5.0	VV1		VV2		VV3		VV4		VV5	
H [mm]	R_{eq}	λ_{eq}	R_{eq}	λ_{eq}	R_{eq}	λ_{eq}	R_{eq}	λ_{eq}	R_{eq}	λ_{eq}
190	0,764	0,157	0,750	0,160	0,702	0,171	-	-	-	-
200	0,795	0,151	0,779	0,154	0,732	0,164	0,649	0,185	0,597	0,201
210	0,822	0,146	0,805	0,149	0,759	0,158	0,670	0,179	0,625	0,192
220	0,851	0,141	0,833	0,144	0,784	0,153	0,694	0,173	0,649	0,185
230	0,876	0,137	0,863	0,139	0,811	0,148	0,719	0,167	0,670	0,179
240	0,902	0,133	0,896	0,134	0,839	0,143	0,741	0,162	0,694	0,173
250	0,930	0,129	0,916	0,131	0,863	0,139	0,769	0,156	0,719	0,167

XT typ QP 5.0	VV6		VV7		VV8		VV9		VV10	
H [mm]	R_{eq}	λ_{eq}	R_{eq}	λ_{eq}	R_{eq}	λ_{eq}	R_{eq}	λ_{eq}	R_{eq}	λ_{eq}
210	0,486	0,247	0,498	0,241	0,469	0,256	0,430	0,279	0,455	0,264
220	0,506	0,237	0,517	0,232	0,486	0,247	0,448	0,268	0,474	0,253
230	0,524	0,229	0,536	0,224	0,506	0,237	0,465	0,258	0,492	0,244
240	0,543	0,221	0,556	0,216	0,524	0,229	0,484	0,248	0,511	0,235
250	0,563	0,213	0,577	0,208	0,543	0,221	0,500	0,240	0,529	0,227

- R_{eq} ekvivalentní tepelný odpor v $m^2 \cdot K/W$
- λ_{eq} ekvivalentní tepelná vodivost ve $W/(m \cdot K)$
- Hodnoty byly stanoveny dle EAD (European Assessment Document): EAD 050001-00-0301 (2018/C 090/04)

Schöck Isokorb® XT typ QP-Z

XT typ QP-Z 5.0	V1		V2		V3		V4		V5	
	H [mm]	R_{eq}	λ_{eq}	R_{eq}	λ_{eq}	R_{eq}	λ_{eq}	R_{eq}	λ_{eq}	R_{eq}
180	1,261	0,095	1,249	0,096	1,242	0,097	-	-	-	-
190	1,290	0,093	1,290	0,093	1,277	0,094	1,135	0,106	1,111	0,108
200	1,333	0,090	1,333	0,090	1,333	0,090	1,165	0,103	1,143	0,105
210	1,364	0,088	1,364	0,088	1,364	0,088	1,212	0,099	1,188	0,101
220	1,412	0,085	1,395	0,086	1,395	0,086	1,237	0,097	1,212	0,099
230	1,446	0,083	1,446	0,083	1,446	0,083	1,277	0,094	1,250	0,096
240	1,463	0,082	1,463	0,082	1,463	0,082	1,290	0,093	1,277	0,094
250	1,500	0,080	1,500	0,080	1,500	0,080	1,333	0,090	1,319	0,091

XT typ QP-Z 5.0	V6		V7		V8		V9		V10	
	H [mm]	R_{eq}	λ_{eq}	R_{eq}	λ_{eq}	R_{eq}	λ_{eq}	R_{eq}	λ_{eq}	R_{eq}
200	0,951	0,126	0,915	0,131	0,915	0,131	0,894	0,134	0,894	0,134
210	0,984	0,122	0,945	0,127	0,945	0,127	0,930	0,129	0,930	0,129
220	1,017	0,118	0,984	0,122	0,984	0,122	0,960	0,125	0,960	0,125
230	1,043	0,115	1,008	0,119	1,008	0,119	0,984	0,122	0,984	0,122
240	1,071	0,112	1,034	0,116	1,034	0,116	1,017	0,118	1,017	0,118
250	1,101	0,109	1,071	0,112	1,071	0,112	1,043	0,115	1,043	0,115

- R_{eq} ekvivalentní tepelný odpor v $m^2 \cdot K/W$
- λ_{eq} ekvivalentní tepelná vodivost ve $W/(m \cdot K)$
- Hodnoty byly stanoveny dle EAD (European Assessment Document): EAD 050001-00-0301 (2018/C 090/04)

Schöck Isokorb® XT typ CL, HP, ZL

XT typ CL-L/R 5.0	M1-V1		M1-V2		M2-V1		M2-V2	
	H [mm]	R_{eq}	λ_{eq}	R_{eq}	λ_{eq}	R_{eq}	λ_{eq}	R_{eq}
180	0,625	0,192	-	-	0,577	0,208	-	-
190	0,656	0,183	-	-	0,606	0,198	-	-
200	0,682	0,176	0,609	0,197	0,632	0,190	0,569	0,211
210	0,710	0,169	0,635	0,189	0,659	0,182	0,591	0,203
220	0,736	0,163	0,659	0,182	0,682	0,176	0,615	0,195
230	0,764	0,157	0,682	0,176	0,710	0,169	0,638	0,188
240	0,795	0,151	0,706	0,170	0,736	0,163	0,663	0,181
250	0,822	0,146	0,732	0,164	0,759	0,158	0,682	0,176

XT typ HP 5.2	NN1		NN2		VV1-NN1		VV2-NN1	
	H [mm]	R_{eq}	λ_{eq}	R_{eq}	λ_{eq}	R_{eq}	λ_{eq}	R_{eq}
160	1,395	0,086	1,176	0,102	0,736	0,163	0,571	0,210
170	1,446	0,083	1,200	0,100	0,769	0,156	0,600	0,200
180	1,519	0,079	1,237	0,097	0,805	0,149	0,632	0,190
190	1,558	0,077	1,290	0,093	0,828	0,145	0,649	0,185
200	1,579	0,076	1,333	0,090	0,857	0,140	0,674	0,178
210	1,600	0,075	1,364	0,088	0,889	0,135	0,702	0,171
220	1,667	0,072	1,412	0,085	0,923	0,130	0,719	0,167
230	1,714	0,070	1,446	0,083	0,952	0,126	0,745	0,161
240	1,739	0,069	1,481	0,081	0,968	0,124	0,764	0,157
250	1,791	0,067	1,538	0,078	0,992	0,121	0,789	0,152
270	1,846	0,065	1,558	0,077	1,053	0,114	0,833	0,144
280	1,875	0,064	1,579	0,076	1,081	0,111	0,857	0,140

XT typ ZL 5.2/5.0	EI120		EI120-T	
	H [mm]	R_{eq}	λ_{eq}	R_{eq}
160	1,875	0,064	1,905	0,063
170	1,935	0,062	1,967	0,061
180	2,000	0,060	2,000	0,060
190	2,034	0,059	2,069	0,058
200	2,069	0,058	2,105	0,057
210	2,143	0,056	2,143	0,056
220	2,182	0,055	2,182	0,055
230	2,222	0,054	2,222	0,054
240	2,264	0,053	2,264	0,053
250	2,308	0,052	2,308	0,052

- R_{eq} ekvivalentní tepelný odpor v $m^2 \cdot K/W$
- λ_{eq} ekvivalentní tepelná vodivost ve $W/(m \cdot K)$
- Hodnoty byly stanoveny dle EAD (European Assessment Document): EAD 050001-00-0301 (2018/C 090/04)

Schöck Isokorb® XT typ DP

XT typ DP 6.0	MM1-VV1		MM1-VV2		MM1-VV3		MM2-VV1		MM2-VV2		MM2-VV3	
	H [mm]	R _{eq}	λ _{eq}	R _{eq}	λ _{eq}	R _{eq}	λ _{eq}	R _{eq}	λ _{eq}	R _{eq}	λ _{eq}	R _{eq}
160	0,857	0,140	0,811	0,148	-	-	0,667	0,180	-	-	-	-
170	0,909	0,132	0,857	0,140	0,759	0,158	0,698	0,172	0,632	0,190	-	-
180	0,945	0,127	0,896	0,134	0,795	0,151	0,732	0,164	0,663	0,181	0,591	0,203
190	0,984	0,122	0,930	0,129	0,828	0,145	0,764	0,157	0,694	0,173	0,619	0,194
200	1,026	0,117	0,976	0,123	0,857	0,140	0,800	0,150	0,723	0,166	0,649	0,185
210	1,062	0,113	1,008	0,119	0,896	0,134	0,833	0,144	0,755	0,159	0,674	0,178
220	1,101	0,109	1,043	0,115	0,930	0,129	0,857	0,140	0,784	0,153	0,702	0,171
230	1,143	0,105	1,071	0,112	0,960	0,125	0,896	0,134	0,811	0,148	0,727	0,165
240	1,165	0,103	1,111	0,108	0,992	0,121	0,923	0,130	0,839	0,143	0,755	0,159
250	1,200	0,100	1,154	0,104	1,026	0,117	0,952	0,126	0,863	0,139	0,779	0,154

XT typ DP 6.0	MM3-VV1		MM3-VV2		MM3-VV3		MM3-VV4		MM3-VV5		
	H [mm]	R _{eq}	λ _{eq}	R _{eq}	λ _{eq}	R _{eq}	λ _{eq}	R _{eq}	λ _{eq}	R _{eq}	λ _{eq}
160	0,563	0,213	-	-	-	-	-	-	-	-	-
170	0,591	0,203	0,543	0,221	-	-	-	-	-	-	-
180	0,622	0,193	0,571	0,210	0,517	0,232	0,476	0,252	-	-	-
190	0,649	0,185	0,597	0,201	0,543	0,221	0,500	0,240	0,436	0,275	-
200	0,682	0,176	0,625	0,192	0,566	0,212	0,522	0,230	0,458	0,262	-
210	0,710	0,169	0,649	0,185	0,591	0,203	0,543	0,221	0,478	0,251	-
220	0,736	0,163	0,678	0,177	0,615	0,195	0,566	0,212	0,498	0,241	-
230	0,759	0,158	0,702	0,171	0,638	0,188	0,591	0,203	0,517	0,232	-
240	0,789	0,152	0,727	0,165	0,663	0,181	0,612	0,196	0,538	0,223	-
250	0,816	0,147	0,755	0,159	0,682	0,176	0,632	0,190	0,556	0,216	-

- R_{eq} ekvivalentní tepelný odpor v m²·K/W
- λ_{eq} ekvivalentní tepelná vodivost ve W/(m·K)
- Hodnoty byly stanoveny dle EAD (European Assessment Document): EAD 050001-00-0301 (2018/C 090/04)

Schöck Isokorb® XT typ DP

XT typ DP 6.0	MM4-VV1		MM4-VV2		MM4-VV3		MM4-VV4		MM4-VV5		
	H [mm]	R _{eq}	λ _{eq}	R _{eq}	λ _{eq}	R _{eq}	λ _{eq}	R _{eq}	λ _{eq}	R _{eq}	λ _{eq}
160	0,486	0,247	-	-	-	-	-	-	-	-	-
170	0,513	0,234	0,476	0,252	-	-	-	-	-	-	-
180	0,541	0,222	0,502	0,239	0,460	0,261	0,426	0,282	-	-	-
190	0,566	0,212	0,524	0,229	0,482	0,249	0,448	0,268	0,397	0,302	-
200	0,591	0,203	0,548	0,219	0,502	0,239	0,467	0,257	0,415	0,289	-
210	0,619	0,194	0,571	0,210	0,526	0,228	0,488	0,246	0,435	0,276	-
220	0,642	0,187	0,597	0,201	0,548	0,219	0,508	0,236	0,451	0,266	-
230	0,667	0,180	0,619	0,194	0,569	0,211	0,529	0,227	0,471	0,255	-
240	0,690	0,174	0,645	0,186	0,591	0,203	0,548	0,219	0,488	0,246	-
250	0,714	0,168	0,667	0,180	0,612	0,196	0,569	0,211	0,506	0,237	-

XT typ DP 6.0	MM5-VV1		MM5-VV2		MM5-VV3		MM5-VV4		MM5-VV5		
	H [mm]	R _{eq}	λ _{eq}	R _{eq}	λ _{eq}	R _{eq}	λ _{eq}	R _{eq}	λ _{eq}	R _{eq}	λ _{eq}
160	0,430	0,279	-	-	-	-	-	-	-	-	-
170	0,453	0,265	0,424	0,283	-	-	-	-	-	-	-
180	0,476	0,252	0,446	0,269	0,412	0,291	0,386	0,311	-	-	-
190	0,500	0,240	0,467	0,257	0,433	0,277	0,405	0,296	0,364	0,330	-
200	0,522	0,230	0,490	0,245	0,453	0,265	0,424	0,283	0,381	0,315	-
210	0,545	0,220	0,513	0,234	0,474	0,253	0,443	0,271	0,397	0,302	-
220	0,566	0,212	0,533	0,225	0,494	0,243	0,462	0,260	0,415	0,289	-
230	0,591	0,203	0,553	0,217	0,513	0,234	0,482	0,249	0,432	0,278	-
240	0,612	0,196	0,574	0,209	0,533	0,225	0,500	0,240	0,449	0,267	-
250	0,635	0,189	0,594	0,202	0,550	0,218	0,517	0,232	0,465	0,258	-

XT typ DP 6.0	MM6-VV1		MM6-VV2		MM6-VV3		MM6-VV4		MM6-VV5		
	H [mm]	R _{eq}	λ _{eq}	R _{eq}	λ _{eq}	R _{eq}	λ _{eq}	R _{eq}	λ _{eq}	R _{eq}	λ _{eq}
160	0,306	0,392	-	-	-	-	-	-	-	-	-
170	0,323	0,371	0,308	0,389	-	-	-	-	-	-	-
180	0,341	0,352	0,325	0,369	0,306	0,392	0,292	0,411	-	-	-
190	0,358	0,335	0,342	0,351	0,323	0,372	0,306	0,392	0,282	0,426	-
200	0,375	0,320	0,358	0,335	0,338	0,355	0,321	0,374	0,296	0,406	-
210	0,392	0,306	0,375	0,320	0,354	0,339	0,336	0,357	0,309	0,388	-
220	0,410	0,293	0,391	0,307	0,369	0,325	0,351	0,342	0,323	0,372	-
230	0,426	0,282	0,407	0,295	0,385	0,312	0,365	0,329	0,337	0,356	-
240	0,443	0,271	0,423	0,284	0,399	0,301	0,380	0,316	0,350	0,343	-
250	0,458	0,262	0,438	0,274	0,414	0,290	0,395	0,304	0,364	0,330	-

- R_{eq} ekvivalentní tepelný odpor v m²·K/W
- λ_{eq} ekvivalentní tepelná vodivost ve W/(m·K)
- Hodnoty byly stanoveny dle EAD (European Assessment Document): EAD 050001-00-0301 (2018/C 090/04)

Schöck Isokorb® XT typ AP, BP, WL

XT typ AP 1.0		
H [mm]	R_{eq}	λ_{eq}
160	0,574	0,209
170	0,603	0,199
180	0,628	0,191
190	0,656	0,183
200	0,678	0,177
210	0,702	0,171
220	0,727	0,165
230	0,750	0,160
240	0,774	0,155
250	0,795	0,151

XT typ BP 5.0	M1		M2		M3		M4	
H [mm]	R_{eq}	λ_{eq}	R_{eq}	λ_{eq}	R_{eq}	λ_{eq}	R_{eq}	λ_{eq}
400	0,774	0,155	0,597	0,201	0,482	0,249	0,366	0,328

XT typ WL 5.0	M1		M2		M3		M4	
H [mm]	R_{eq}	λ_{eq}	R_{eq}	λ_{eq}	R_{eq}	λ_{eq}	R_{eq}	λ_{eq}
1500-1990	1,818	0,066	1,412	0,085	1,101	0,109	0,833	0,144
2000-2490	2,105	0,057	1,690	0,071	1,364	0,088	1,043	0,115
2500-3500	2,353	0,051	1,935	0,062	1,558	0,077	1,224	0,098

- R_{eq} ekvivalentní tepelný odpor v $m^2 \cdot K/W$
- λ_{eq} ekvivalentní tepelná vodivost ve $W/(m \cdot K)$
- Hodnoty byly stanoveny dle EAD (European Assessment Document): EAD 050001-00-0301 (2018/C 090/04)
- Typ BP: Ekvivalentní součinitel tepelné vodivosti λ_{eq} je závislý na geometrii prvku. Při výpočtu bylo uvažováno s výškou prvku 400 mm. Výsledné hodnoty jsou tedy zaručeně platné pro celé výškové rozmezí.
- Typ WL: Ekvivalentní součinitel tepelné vodivosti λ_{eq} je závislý na geometrii prvku. Ve výškových rozmezích 1500 - 1990 mm, 2000 - 2490 mm, 2500 - 3500 mm bylo při výpočtu uvažováno s výškami 1500 mm, 2000 mm resp. 2500 mm a šířkou 150 mm. Výsledné hodnoty jsou tedy zaručeně platné pro celé výškové rozmezí.

Impresum

Vydal: Schöck-Wittek s.r.o.
Veslavínova 8
746 01 Opava
Telefon: 553 788 308

Copyright:

© 2024, Schöck Bauteile GmbH

Obsah této tiskoviny ani jejích částí nesmí být bez písemného povolení společnosti Schöck Bauteile GmbH předán třetím osobám. Všechny technické údaje, zobrazení apod. podléhají zákonu o ochraně autorských práv.

Technické změny vyhrazeny.

Datum vydání: Leden 2024



Schöck-Wittek s.r.o.
Veslavínova 8
746 01 Opava
Telefon: 553 788 308
Fax: 553 788 308
wittek@wittek.cz
www.schoeck.com